

## SVD rozklad a pseudoinverse

Odpřednesenou látku naleznete v kapitole 14 skript  
*Abstraktní a konkrétní lineární algebra*.

## Cíle této přednášky

- 1 Každá **symetrická** matice  $\mathbf{A} : \mathbb{R}^n \rightarrow \mathbb{R}^n$  má **pouze reálné vlastní hodnoty** a je **diagonalisovatelná**.<sup>a</sup>  
Navíc: vlastní vektory symetrické matice tvoří „**hezkou bázi**“ prostoru  $\mathbb{R}^n$ .
- 2 Jako důsledek předchozího ukážeme, že **každou** matici  $\mathbf{M} : \mathbb{R}^s \rightarrow \mathbb{R}^r$  lze napsat jako<sup>b</sup>

$$\mathbf{M} = \underbrace{\mathbf{U}\mathbf{S}\mathbf{V}^T}_{\text{SVD rozklad } \mathbf{M}}$$

kde  $\mathbf{S}$  je „**diagonální**“ a  $\mathbf{U}^{-1} = \mathbf{U}^T$  a  $\mathbf{V}^{-1} = \mathbf{V}^T$ .

- 3 Ukážeme aplikace SVD rozkladu.

---

<sup>a</sup>Tento výsledek **nebudeme dokazovat**, vyžaduje hlubší znalosti z reálné analýzy.

<sup>b</sup>Výpočty z této přednášky jsou časově velmi náročné. U ústní zkoušky může být vyžadováno základní pochopení teorie (str 7 a 8 tohoto tématu), nikoli výpočty.

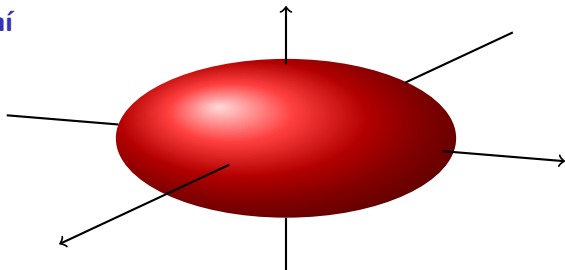
## Věta o hlavních osách (pro standardní skalární součin)

Pro každou **symetrickou** reálnou matici  $\mathbf{A} : \mathbb{R}^n \rightarrow \mathbb{R}^n$  existuje **ortonormální** báze  $\mathbb{R}^n$  složená z vlastních vektorů matice  $\mathbf{A}$ . Navíc matice  $\mathbf{A}$  má pouze **reálné** vlastní hodnoty.

### Důkaz.

Bez důkazu (je těžký). Viz Důsledek 14.1.5 **skript**. ■

### Vysvětlení



$\mathbf{A}$  zobrazuje jednotkovou kouli na (případně degenerovaný) elipsoid.

## Důsledek — SVD rozklad matice pro stand. skalární součin

Libovolnou matici  $\mathbf{M} : \mathbb{R}^s \rightarrow \mathbb{R}^r$  lze zapsat ve tvaru  $\mathbf{USV}^T$ , kde

- 1  $\mathbf{V} : \mathbb{R}^s \rightarrow \mathbb{R}^s$  a  $\mathbf{U} : \mathbb{R}^r \rightarrow \mathbb{R}^r$  jsou **ortogonální**, tj.  $\mathbf{V}^T = \mathbf{V}^{-1}$  a  $\mathbf{U}^T = \mathbf{U}^{-1}$ .
- 2  $\mathbf{S} : \mathbb{R}^s \rightarrow \mathbb{R}^r$  má na hlavní diagonále kladná čísla  $\sigma_1 \geq \sigma_2 \geq \dots \geq \sigma_h$  (tzv. **singulární hodnoty** matice  $\mathbf{M}$ ), kde  $h = \text{rank}(\mathbf{M})$ . Všude jinde má matice  $\mathbf{S}$  nuly.

### Myšlenka důkazu.

- 1 Matice  $\mathbf{A} = \mathbf{M}^T \mathbf{M} : \mathbb{R}^s \rightarrow \mathbb{R}^s$  je symetrická. Její vlastní hodnoty jsou **nezáporné**. Seřad'te je:  $\lambda_1 \geq \lambda_2 \geq \dots \lambda_s \geq 0$ . Označte příslušnou **ortonormální** bázi jako  $(\mathbf{v}_1, \dots, \mathbf{v}_s)$ .
- 2 Definujte  $\sigma_1 = \sqrt{\lambda_1}, \dots, \sigma_s = \sqrt{\lambda_s}$ . Vyberte **nenulová**  $\sigma_i$ :  $\sigma_1 \geq \sigma_2 \geq \dots \geq \sigma_h > 0$  a definujte  $\mathbf{u}_i = \mathbf{M}\mathbf{v}_i/\sigma_i$  pro  $i = 1, \dots, h$  a doplňte na **ortonormální** bázi  $(\mathbf{u}_1, \dots, \mathbf{u}_r)$ .

## Příklad (SVD rozklad)

Nalezneme SVD rozklad pro  $\mathbf{M} = \begin{pmatrix} 14 & 4 & 11 \\ -2 & 8 & 7 \end{pmatrix}$ .

1  $\mathbf{M}^T \mathbf{M} = \begin{pmatrix} 14 & -2 \\ 4 & 8 \\ 11 & 7 \end{pmatrix} \cdot \begin{pmatrix} 14 & 4 & 11 \\ -2 & 8 & 7 \end{pmatrix} = \begin{pmatrix} 200 & 40 & 140 \\ 40 & 80 & 100 \\ 140 & 100 & 170 \end{pmatrix}$

2 Vlastní hodnoty  $\mathbf{M}^T \mathbf{M}$  jsou  $\lambda_1 = 360$ ,  $\lambda_2 = 90$ ,  $\lambda_3 = 0$ .

Příslušná **ortonormální báze** vlastních vektorů je

$$\left( \begin{pmatrix} 2/3 \\ 1/3 \\ 2/3 \end{pmatrix}, \begin{pmatrix} -2/3 \\ 2/3 \\ 1/3 \end{pmatrix}, \begin{pmatrix} 1/3 \\ -2/3 \\ 2/3 \end{pmatrix} \right). \text{ Tudíž } \mathbf{V} = \begin{pmatrix} 2/3 & -2/3 & -1/3 \\ 1/3 & 2/3 & -2/3 \\ 2/3 & 1/3 & 2/3 \end{pmatrix}.$$

3 **Singulární hodnoty**  $\mathbf{M}$  jsou  $\sigma_1 = \sqrt{\lambda_1} = 6\sqrt{10}$ ,

$$\sigma_2 = \sqrt{\lambda_2} = 3\sqrt{10}.$$

## Příklad (SVD rozklad, pokrač.)

4  $\mathbf{u}_1 = \mathbf{M}\mathbf{v}_1/\sigma_1$  a  $\mathbf{u}_2 = \mathbf{M}\mathbf{v}_2/\sigma_2$ :

$$\frac{1}{6\sqrt{10}} \cdot \begin{pmatrix} 14 & 4 & 11 \\ -2 & 8 & 7 \end{pmatrix} \cdot \begin{pmatrix} 2/3 \\ 1/3 \\ 2/3 \end{pmatrix} = \begin{pmatrix} 3/\sqrt{10} \\ 1/\sqrt{10} \end{pmatrix}$$

$$\frac{1}{3\sqrt{10}} \cdot \begin{pmatrix} 14 & 4 & 11 \\ -2 & 8 & 7 \end{pmatrix} \cdot \begin{pmatrix} -2/3 \\ 2/3 \\ 1/3 \end{pmatrix} = \begin{pmatrix} -1/\sqrt{10} \\ 3/\sqrt{10} \end{pmatrix}$$

5 Plný SVD rozklad  $\mathbf{M}$  je:

$$\begin{pmatrix} 14 & 4 & 11 \\ -2 & 8 & 7 \end{pmatrix} = \begin{pmatrix} 3/\sqrt{10} & -1/\sqrt{10} \\ 1/\sqrt{10} & 3/\sqrt{10} \end{pmatrix} \cdot \begin{pmatrix} 6\sqrt{10} & 0 & 0 \\ 0 & 3\sqrt{10} & 0 \end{pmatrix} \cdot \begin{pmatrix} 2/3 & -2/3 & 1/3 \\ 1/3 & 2/3 & -2/3 \\ 2/3 & 1/3 & 2/3 \end{pmatrix}^T$$

## Geometrie SVD rozkladu $\mathbf{M} = \mathbf{USV}^T$

Matice  $\mathbf{V} = (\mathbf{v}_1, \dots, \mathbf{v}_s)$  a  $\mathbf{U} = (\mathbf{u}_1, \dots, \mathbf{u}_r)$  jsou tvořeny vektory nových ortonormálních bází  $V$  a  $U$  prostorů  $\mathbb{R}^s$  a  $\mathbb{R}^r$ , ve kterých se  $\mathbf{M} : \mathbb{R}^s \rightarrow \mathbb{R}^r$  jeví jako změna měřítka  $\mathbf{S} : \mathbb{R}^s \rightarrow \mathbb{R}^r$ .

$$\mathbb{R}^s \xrightarrow{\mathbf{T}_{K_s \mapsto V}} \mathbb{R}^s \xrightarrow{\mathbf{S}} \mathbb{R}^r \xrightarrow{\mathbf{T}_{U \mapsto K_r}} \mathbb{R}^r$$

Protože  $\mathbf{T}_{K_s \mapsto V} = (\mathbf{T}_{V \mapsto K_s})^{-1} = \mathbf{V}^{-1} = \mathbf{V}^T$  a  $\mathbf{T}_{U \mapsto K_r} = \mathbf{U}$ , znázorňuje vrchní obrázek opravdu

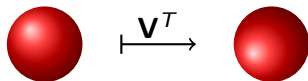
$$\mathbb{R}^s \xrightarrow{\mathbf{V}^T} \mathbb{R}^s \xrightarrow{\mathbf{S}} \mathbb{R}^r \xrightarrow{\mathbf{U}} \mathbb{R}^r$$

A to je přesně SVD rozklad matice  $\mathbf{M}$ .

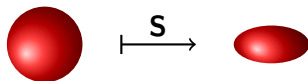
## Geometrie SVD rozkladu $M = USV^T$ (pokrač.)

Obraz jednotkové koule v  $\mathbb{R}^s$  při zobrazení  $\mathbf{x} \mapsto \mathbf{M}\mathbf{x}$ :

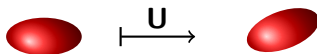
- ① Rotace (případně nevlastní)  $\mathbf{V}^T : \mathbb{R}^s \rightarrow \mathbb{R}^s$ :



- ② Změna měřítka (případně i s degenerací)  $\mathbf{S} : \mathbb{R}^s \rightarrow \mathbb{R}^r$ :



- ③ Rotace (případně nevlastní)  $\mathbf{U} : \mathbb{R}^r \rightarrow \mathbb{R}^r$ :





## Redukce SVD rozkladu a aproximace SVD rozkladem

Plný SVD rozklad  $\mathbf{USV}^T$  matice  $\mathbf{M}$  hodnosti  $h$  lze psát jako

$$\mathbf{M} = \sum_{j=1}^h \sigma_j \cdot \mathbf{u}_j \cdot \mathbf{v}_j^T$$

kde  $\mathbf{u}_j$  jsou sloupce  $\mathbf{U}$  a  $\mathbf{v}_j$  jsou sloupce  $\mathbf{V}$ .

Částečné součty

$$\mathbf{M}_k = \sum_{j=1}^k \sigma_j \cdot \mathbf{u}_j \cdot \mathbf{v}_j^T$$

pro  $k \leq h$  mají hodnost  $k$  a platí

$$\|\mathbf{M} - \mathbf{M}_k\|_F = \min \{ \|\mathbf{M} - \mathbf{X}\|_F \mid \mathbf{X} : \mathbb{R}^s \rightarrow \mathbb{R}^r, \text{rank}(\mathbf{X}) \leq k \}$$

kde

$$\|\mathbf{X}\|_F = \sqrt{\sum_{j=1}^s \mathbf{x}_j^T \cdot \mathbf{x}_j} = \sqrt{\sum_{j=1}^s \sum_{i=1}^r x_{ij}^2}$$

je Frobeniova norma matice  $\mathbf{X} = (\mathbf{x}_1, \dots, \mathbf{x}_s) = (x_{ij})$ .

## Příklad

Pro  $\mathbf{M} = \begin{pmatrix} 14 & 4 & 11 \\ -2 & 8 & 7 \end{pmatrix}$  lze psát její SVD rozklad

$$\mathbf{M} = \begin{pmatrix} 3/\sqrt{10} & -1/\sqrt{10} \\ 1/\sqrt{10} & 3/\sqrt{10} \end{pmatrix} \cdot \begin{pmatrix} 6\sqrt{10} & 0 & 0 \\ 0 & 3\sqrt{10} & 0 \end{pmatrix} \cdot \begin{pmatrix} 2/3 & -2/3 & 1/3 \\ 1/3 & 2/3 & -2/3 \\ 2/3 & 1/3 & 2/3 \end{pmatrix}^T$$

jako

$$\mathbf{M} = 6\sqrt{10} \cdot \begin{pmatrix} 3/\sqrt{10} \\ 1/\sqrt{10} \end{pmatrix} \cdot (2/3 \quad 1/3 \quad 2/3) + 3\sqrt{10} \cdot \begin{pmatrix} -1/\sqrt{10} \\ 3/\sqrt{10} \end{pmatrix} \cdot (-2/3 \quad 2/3 \quad 1/3)$$

a

$$\mathbf{M}_1 = 6\sqrt{10} \cdot \begin{pmatrix} 3/\sqrt{10} \\ 1/\sqrt{10} \end{pmatrix} \cdot (2/3 \quad 1/3 \quad 2/3) = \begin{pmatrix} 18/15 & 9/15 & 18/15 \\ 6/15 & 3/15 & 6/15 \end{pmatrix}$$

Platí 
$$\frac{\|\mathbf{M} - \mathbf{M}_1\|_F}{\|\mathbf{M}\|_F} = \frac{3\sqrt{10}}{\sqrt{450}} \approx 0.477$$

## Chyba při nahrazení částečným součtem SVD rozkladu

Platí rovnost:

$$\|\mathbf{M} - \mathbf{M}_k\|_F = \sqrt{\sigma_{k+1}^2 + \dots + \sigma_h^2}$$

Speciálně:

$$\|\mathbf{M}\|_F = \sqrt{\sigma_1^2 + \dots + \sigma_h^2}$$

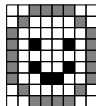
Podílu

$$\frac{\|\mathbf{M} - \mathbf{M}_k\|_F}{\|\mathbf{M}\|_F} = \sqrt{\frac{\sigma_{k+1}^2 + \dots + \sigma_h^2}{\sigma_1^2 + \dots + \sigma_h^2}}$$

říkáme **relativní změna matice  $\mathbf{M}$**  (při nahrazení  $\mathbf{M}$   $k$ -tým částečným součtem jejího SVD rozkladu).

## SVD rozklad matice lze použít ke kompresi dat

Obrázek



lze zadat maticí

$$\mathbf{M} = \begin{pmatrix} 0 & 0 & 0.5 & 0.5 & 0.5 & 0.5 & 0 & 0 \\ 0 & 0.5 & 0 & 0 & 0 & 0 & 0.5 & 0 \\ 0.5 & 0 & 0 & 0 & 0 & 0 & 0 & 0.5 \\ 0.5 & 0 & 1 & 0 & 0 & 1 & 0 & 0.5 \\ 0.5 & 0 & 0 & 0 & 0 & 0 & 0 & 0.5 \\ 0.5 & 0 & 1 & 0 & 0 & 1 & 0 & 0.5 \\ 0.5 & 0 & 0 & 1 & 1 & 0 & 0 & 0.5 \\ 0 & 0.5 & 0 & 0 & 0 & 0 & 0.5 & 0 \\ 0 & 0 & 0.5 & 0.5 & 0.5 & 0.5 & 0 & 0 \end{pmatrix}$$

kde 0 = bílá, 0.5 = šedá, 1 = černá.

## SVD rozklad matice lze použít ke kompresi dat (pokrač.)

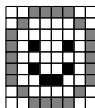
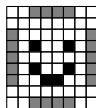
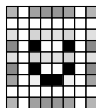
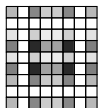
SVD rozklad matice  $\mathbf{M}$  má tvar  $\mathbf{USV}^T$ , kde matice  $\mathbf{S}$  je:

$$\mathbf{S} = \begin{pmatrix} 2.57 & 0 & 0 & 0 & 0 & 0 & 0 & 0 \\ 0 & 1.61 & 0 & 0 & 0 & 0 & 0 & 0 \\ 0 & 0 & 1.13 & 0 & 0 & 0 & 0 & 0 \\ 0 & 0 & 0 & 1.00 & 0 & 0 & 0 & 0 \\ 0 & 0 & 0 & 0 & 0 & 0 & 0 & 0 \\ 0 & 0 & 0 & 0 & 0 & 0 & 0 & 0 \\ 0 & 0 & 0 & 0 & 0 & 0 & 0 & 0 \\ 0 & 0 & 0 & 0 & 0 & 0 & 0 & 0 \\ 0 & 0 & 0 & 0 & 0 & 0 & 0 & 0 \end{pmatrix}$$

Ke kompresi stačí použít první čtyři **singulární hodnoty** (prvky na hlavní diagonále  $\mathbf{S}$ ) matice  $\mathbf{M}$ , protože pátá až osmá singulární hodnota je rovna nule.

## SVD rozklad matice lze použít ke kompresi dat (pokrač.)

Obrázky pro první čtyři aproximace matice  $\mathbf{M}$  vypadají takto:



Relativní změny matice  $\mathbf{M}$  jsou následující:

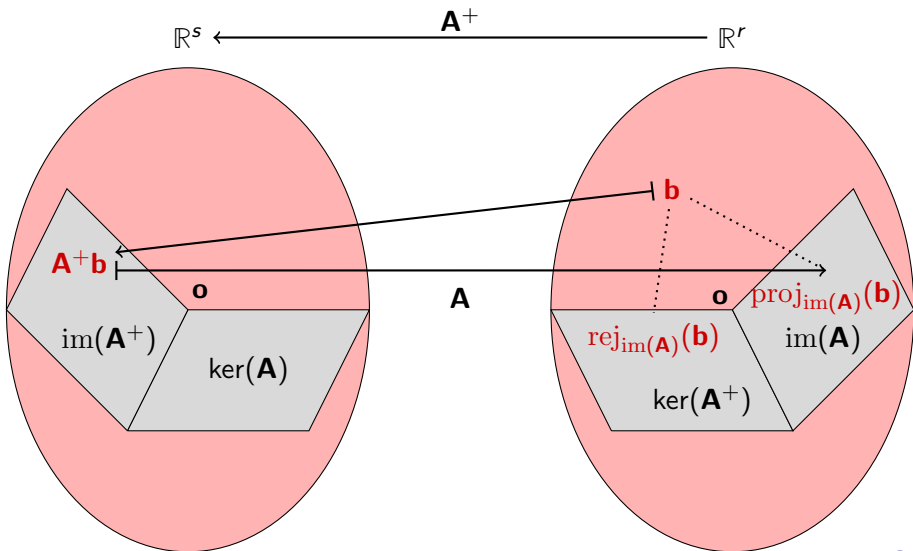
$$\frac{\|\mathbf{M} - \mathbf{M}_1\|_F}{\|\mathbf{M}\|_F} \approx \sqrt{\frac{1.61^2 + 1.13^2 + 1.00^2}{2.57^2 + 1.61^2 + 1.13^2 + 1.00^2}} \approx 0.65$$

$$\frac{\|\mathbf{M} - \mathbf{M}_2\|_F}{\|\mathbf{M}\|_F} \approx \sqrt{\frac{1.13^2 + 1.00^2}{2.57^2 + 1.61^2 + 1.13^2 + 1.00^2}} \approx 0.45$$

$$\frac{\|\mathbf{M} - \mathbf{M}_3\|_F}{\|\mathbf{M}\|_F} \approx \sqrt{\frac{1.00^2}{2.57^2 + 1.61^2 + 1.13^2 + 1.00^2}} \approx 0.30$$

$$\frac{\|\mathbf{M} - \mathbf{M}_4\|_F}{\|\mathbf{M}\|_F} \approx \sqrt{\frac{0}{2.57^2 + 1.61^2 + 1.13^2 + 1.00^2}} = 0.00$$

## Co dělat, když matice $A : \mathbb{R}^s \rightarrow \mathbb{R}^r$ nemá inverzi?



## Tvrzení

Ať  $\mathbf{A} : \mathbb{R}^s \rightarrow \mathbb{R}^r$  je matice. Potom existuje nanejvýš jedna matice  $\mathbf{A}^+ : \mathbb{R}^r \rightarrow \mathbb{R}^s$ , která splňuje následující čtyři podmínky<sup>a</sup>

$$\mathbf{A}\mathbf{A}^+\mathbf{A} = \mathbf{A}, \quad \mathbf{A}^+\mathbf{A}\mathbf{A}^+ = \mathbf{A}^+, \quad (\mathbf{A}^+\mathbf{A})^T = \mathbf{A}^+\mathbf{A}, \quad (\mathbf{A}\mathbf{A}^+)^T = \mathbf{A}\mathbf{A}^+$$

---

<sup>a</sup>Matice  $\mathbf{A}^+$ , která tyto čtyři podmínky splňuje, říkáme **pseudoinverse** matice  $\mathbf{A}$ .

## Důkaz.

Bez důkazu (není těžký, ale není zajímavý). Pro zájemce, viz Tvrzení 14.4.1 [skript](#). ■



## Příklady pseudoinversí

- ① At'  $\mathbf{A} : \mathbb{R}^n \rightarrow \mathbb{R}^n$  je regulární matice. Potom  $\mathbf{A}^+ = \mathbf{A}^{-1}$ .

Platí totiž rovnosti:

- ①  $\mathbf{A}\mathbf{A}^{-1}\mathbf{A} = \mathbf{A}$
- ②  $\mathbf{A}^{-1}\mathbf{A}\mathbf{A}^{-1} = \mathbf{A}^{-1}$
- ③  $(\mathbf{A}^{-1}\mathbf{A})^T = \mathbf{E}_n = \mathbf{A}^{-1}\mathbf{A}$
- ④  $(\mathbf{A}\mathbf{A}^{-1})^T = \mathbf{E}_n = \mathbf{A}\mathbf{A}^{-1}$

- ② At'  $\mathbf{O}_{s,r} : \mathbb{R}^s \rightarrow \mathbb{R}^r$ . Potom  $(\mathbf{O}_{s,r})^+ = \mathbf{O}_{r,s}$ .

Platí totiž rovnosti:

- ①  $\mathbf{O}_{s,r}\mathbf{O}_{r,s}\mathbf{O}_{s,r} = \mathbf{O}_{s,r}$
- ②  $\mathbf{O}_{r,s}\mathbf{O}_{s,r}\mathbf{O}_{r,s} = \mathbf{O}_{r,s}$
- ③  $(\mathbf{O}_{r,s}\mathbf{O}_{s,r})^T = \mathbf{O}_{s,s} = \mathbf{O}_{r,s}\mathbf{O}_{s,r}$
- ④  $(\mathbf{O}_{s,r}\mathbf{O}_{r,s})^T = \mathbf{O}_{r,r} = \mathbf{O}_{s,r}\mathbf{O}_{r,s}$

## Příklady pseudoinversí (pokrač.)

- ③ Ať  $\mathbf{A} : \mathbb{R}^k \rightarrow \mathbb{R}^n$  má hodnost  $k$ . Potom  $\mathbf{A}^+ = (\mathbf{A}^T \mathbf{A})^{-1} \mathbf{A}^T$ .

Platí totiž rovnosti:

- ①  $\mathbf{A}(\mathbf{A}^T \mathbf{A})^{-1} \mathbf{A}^T \mathbf{A} = \mathbf{A}$
- ②  $(\mathbf{A}^T \mathbf{A})^{-1} \mathbf{A}^T \mathbf{A} (\mathbf{A}^T \mathbf{A})^{-1} \mathbf{A}^T = (\mathbf{A}^T \mathbf{A})^{-1} \mathbf{A}^T$
- ③  $((\mathbf{A}^T \mathbf{A})^{-1} \mathbf{A}^T \mathbf{A})^T = (\mathbf{A}^T \mathbf{A})^{-1} \mathbf{A}^T \mathbf{A}$
- ④  $(\mathbf{A}(\mathbf{A}^T \mathbf{A})^{-1} \mathbf{A}^T)^T = \mathbf{A}(\mathbf{A}^T \mathbf{A})^{-1} \mathbf{A}^T$

Pozorování: v tomto případě platí

$$\mathbf{A} \mathbf{A}^+ \mathbf{b} = \text{proj}_{\text{im}(\mathbf{A})}(\mathbf{b})$$

To nás nepřekvapuje: tak jsme pseudoinversi vymysleli!

## Věta (nalezení pseudoinverse pomocí SVD rozkladu)

Ať  $\mathbf{A} = \mathbf{USV}^T$  je plný SVD rozklad matice  $\mathbf{A} : \mathbb{R}^s \rightarrow \mathbb{R}^r$ . Potom platí:

1 Matice

$$\mathbf{S}^+ = \left( \frac{1}{\sigma_1} \mathbf{e}_1, \dots, \frac{1}{\sigma_h} \mathbf{e}_h, \underbrace{\mathbf{o}, \dots, \mathbf{o}}_{(r-h)\text{-krát}} \right)$$

je pseudoinverse matice  $\mathbf{S}$ .

2 Matice

$$\mathbf{A}^+ = \mathbf{VS}^+ \mathbf{U}^T$$

je pseudoinverse matice  $\mathbf{A}$ .

### Důkaz.

Bez důkazu. Viz Důsledek 14.4.5 [skript](#).



## Příklad (výpočet pseudoinverze pomocí SVD rozkladu)

Nalezneme  $\mathbf{M}^+$  pro matici

$$\mathbf{M} = \begin{pmatrix} 14 & 4 & 11 \\ -2 & 8 & 7 \end{pmatrix}$$

Plný SVD rozklad matice  $\mathbf{M}$  je roven

$$\begin{pmatrix} 3/\sqrt{10} & -1/\sqrt{10} \\ 1/\sqrt{10} & 3/\sqrt{10} \end{pmatrix} \cdot \begin{pmatrix} 6\sqrt{10} & 0 & 0 \\ 0 & 3\sqrt{10} & 0 \end{pmatrix} \cdot \begin{pmatrix} 2/3 & -2/3 & 1/3 \\ 1/3 & 2/3 & -2/3 \\ 2/3 & 1/3 & 2/3 \end{pmatrix}^T$$

a proto

$$\begin{aligned} \mathbf{M}^+ &= \begin{pmatrix} 2/3 & -2/3 & 1/3 \\ 1/3 & 2/3 & -2/3 \\ 2/3 & 1/3 & 2/3 \end{pmatrix} \cdot \begin{pmatrix} 1/(6\sqrt{10}) & 0 \\ 0 & 1/(3\sqrt{10}) \\ 0 & 0 \end{pmatrix} \cdot \begin{pmatrix} 3/\sqrt{10} & -1/\sqrt{10} \\ 1/\sqrt{10} & 3/\sqrt{10} \end{pmatrix}^T \\ &= \frac{1}{180} \cdot \begin{pmatrix} 10 & -10 \\ 7 & 13 \\ 4 & 8 \end{pmatrix} \end{aligned}$$

## Další aplikace SVD rozkladu — **nepovinné**

- 1 Pseudoinverse matic souvisí s **metodou nejmenších čtverců**, viz Dodatek C **skript**.  
Metoda nejmenších čtverců slouží k „proložení optimální křivky“ naměřenými daty s **nejmenší kvadratickou chybou**.
- 2 **Latentní sémantické indexování** databází (také: **LSI**), viz Dodatek G **skript**.  
Pro databáze lze vytvořit **vektorový model** a SVD rozklad lze použít k **vyhledání skrytých sémantických konceptů** v databázi.
- 3 **Analýza hlavní komponenty** (také: **PCA**), viz Dodatek G **skript**.  
Při **analýze multidimensionálních dat** lze objevit „hlavní komponenty dat“, tj. lze nalézt **podstatné naměřené veličiny**.
- 4 A mnoho dalších aplikací. . .